

‘N REFRAKTIEWE X-STRAAL
DIFFRAKSIE ANALISE VAN DIE
POTWERK BY DIE KRYGKOR-
ROTSSKUILING

Hülgard Vos
1999

‘n Refraktiewe X-straal diffraksie analyse van die potwerk by die

Krygkor-rotsskuiling

deur

Hülgard Vos

Voorgelê ter gedeeltelike vervulling van die graad

B.A. (Hons) Argeologie

In die Fakulteit Lettere en Wysbegeerte

Universiteit van Pretoria

Januarie 1999

Dankbetuigings

Dank is verskuldig aan die volgende persone:

- Mr. Helgard Prinsloo (studieleier) vir sy raad en leiding.
- Dr. D. Bühmann by die Raad vir Geowetenskappe vir sy refraktiewe X-straal diffraksie analyses.
- Dr. M.D. Watson by die departement Materiaal Tegnologie Technikon Pretoria vir sy hulp met die interpretasie van die data leiding en verwysings.
- Mr. L. du Plooy by die departement Materiaal Tegnologie Technikon Pretoria vir sy bibliografiese verwysings en ook interpretasie.
- Mr. D.B.G. Maree by die departement Materiaal Tegnologie Technikon Pretoria vir die bak van die kleimonsters en raad.
- Mr. B. Nel van Krygkor vir sy belangstelling en reëling vir toegang.
- Alle ander persone vir hul hulp en ondersteuning.

ABSTRAK

Die departement Antropologie en Argeologie van die Universiteit van Pretoria is vanaf 1994 betrokke by opgrawings by die Krygkor rotsskuiling (KKS). Die aktiwiteitsareas kan op die terrein geïdentifiseer word. Hierdie skripsié fokus slegs op die potwerk soos gevind in die aktiwiteitsterrein voor die skuiling KKS2 laag 2. Alle data is verwerk volgens 'n suwer natuurwetenskaplike raamwerk en Internasionale Goeie Laboratorium Praktyk (GLP).

ABSTRACT

The department Anthropology and Archeology of the University of Pretoria has been involved in archeological excavations at the Armscor rock shelter (KKS) since 1994. Three areas of archeological activities are found on the site. This paper deals only with the pottery found in the activity area in front of the shelter (KKS2) layer 2. All data has been analyzed within a physical science frame of reference and in accordance with international Good Laboratory Practice (GLP).

INHOUDSOPGawe

	Bladsy
1. Inleiding.	1
2. Doel van die skripsié.	1
3. Terrein beskrywing / Geografiese ligging	2
4. Historiese agtergrond.	2
5. Opsomming van die metodologie gevolg.	3
6. Monster insameling.	3
7. Die RXD proses as metode van herkomsbepaling van potwerk.	5
7.1 Lig.	
7.2 Die opwekking van X-strale.	
7.3 Refraksie.	
7.4 Diffraksie	
1. Die proses van X-straal diffraksie.	6
2. Die aard van die data.	7
3. Pirofilliet (Pyrophyllite).	9
4. Floriet (Fluorspar).	9
5. Betekenis van die voorkoms van die omskryfde minerale.	10
6. Gevolgtrekking.	10
7. Hipotese tot die herkoms van die potwerk.	11
8. Verdere aanbevelings.	12
9. Slot.	12
10. Bibliografie.	14

LYS VAN TABELLE

TABEL 1. Uiteensetting van die mineralogiese samestelling van die monsters.

LYS VAN FIGURE

Figuur 1. Potwerk met gaatjies vir hegting.

Figuur 2. Moloko potwerk wat by die skuiling voorkom.

Figuur 3. Drie sigbare kleurskemas van die gedroogde klei.

Figuur 4. Gebakte klei siinders gevuur by 700 °C, 800 °C en 900 °C.
AB en C

Figuur 5. Vyf potskerwe numeries uiteengesit 1 tot 5.

Figuur 6. Voorstelling van X-straal diffraaksie.

Figuur 7. Geologiese kaart wat die voorkoms van Pirofiliet, Dolomiet en Fluorriet aandui.

I. Inleiding

Tans bestaan daar 'n aantal hipoteses vir die verklaring van die herkoms van potwerk wat tot op hede gevind is by die Krygkor skuiling. Hierdie skripsie plaas 'n nadere blik op die hoofvoorgestelde hipotese naamlik, dat die potwerk wat op die terrein gevind is nie sy oorsprong uit die onmiddellike omgewing het nie. Die hipotese berus op argeologiese gevolgtrekkings wat gemaak kan word op grond van analyses van die vondse gevind, byvoorbeeld herstelde of gehegde potwerk (Fig.1) en potwerk wat klassifiseerbaar is as Moloko en dateerbaar is vanaf 97 nC tot 1530 (Fig.2).

Volgens 'n mededeling van mmr. H.P.Prinsloo (1999) is die voorkomste van Moloko potwerk in die Soutpansberg, Rhala rivier, Steelpoort, Marble Hall en Thabazimbi gebiede. Die Moloko potwerk het waarskynlik behoort aan smelter-handelaars wat hul produkte voor die defaquare verhandel het aan Arabiese handelaars en moontlik vir Groot Zimbabwe en Maphungubwe.

Indien die potwerk nie uit die omgewing van Krygkor hul oorsprong het nie, is die vraag of daar meer bewyse hiervoor gevind kan word en watter metode sou aangewend kon word om hierdie hipotese te toets?

Ander hipoteses sluit die volgende in:

1. alhoewel die potwerk nie hul oorsprong by die skuiling het nie, daar wel handel gedryf is met ander groepe in die omgewing en die potwerk sodoende verkry is;
2. die potwerk se herkoms is uit die onmiddellike omgewing en is daar vervaardig.

2. Doel van die Skripsië

Die doel van hierdie skripsië is uitsluitlik om te probeer om die vraagstuk van die herkoms van die potwerk te bepaal en aan die hand van eksperimentele navorsing die hoofhipotese stelling te verifieer.

3. Terreinbeskrywing / Geografiese ligging.

Die Krygorskuing (KKS) is geleë in die Erasmusrand uitbreiding Suid Oos van Pretoria.

Die skuiling self is teen die Noordelike helling van 'n klein koppie agter die Erasmus huis by Krygkor.

Die naaste bron van water in die omgewing is 'n klein spruit ongeveer vyfhonderd meter vanaf die skuiling self. Dit is uit hierdie spruit se omliggende oewers waaruit kleimonsters geneem is vir vergelykende analises. Die Moreletta spruit kom ook in die omgewing voor.

4. Historiese agtergrond.

Opsommende kronologie van lae binne die skuiling.

Laag 1.

Vanuit laag 1 is die volgende vondstmaterial identifiseerbaar, byvoorbeeld potskerwe en artikels gebruik deur Sotho groepe wat in die omgewing was in, om en by die begin van die agtende eeu, asook dierebene en kraale gemaak van volstruisierdop en 'n heksagonale kraal wat sy oorsprong moontlik uit die nabye ooste het. Die moontlike vlugtelingsstatus van hierdie bewoners van die skuiling en die potwerk tipologie kan dui op 'n bewoningsdatum van \pm 1800 - 1880.

Laag 2.

Hierdie laag bevat klipskerwe en kerne verteenwoordigend van die laat middel steentydperk of vroeë lat steentydperk. Dierebeendere soos die van wild en voëls kom ook voor. Laag 2 sou 'n ouderdom tussen 25 000 en 40 000 jaar gelede voorstel.

Laag 3.

Skerwe van klip en kerne wat uit hierdie laag kom is van groter formaat as die in laag 2 en sou die middel fase van die middel steentydperk kon voorstel met 'n moontlike ouderdom van 40 000 tot 100 000 jaar gelede.

Laag 4

Laag 4 het net 'n "klip mes" bytel en kern opgelewer wat aan die vroeë fase van die middel steentydperk kon behoort. Hierdie werktuie se ouerdom sou na beraming binne die tydperk 100 000 jaar tot 200 000 jaar gelede kon val.

Die mense van die steentydperk was jagter-versamelaars wat die omgewing benut het vir oorlewing. Die area wat opgegrawe is was waarskynlik 'n werksarea synde die gesteentes geen sekondere afwerking toon wat meegebring word deur sekondere skerfverwyding, en gebruik is in die vorm wat dit was. Alle kerne was later verfyn deur skerwe te verwijder en dan gebruik as skrapers (Krygkor Museum).

5. Opsomming van die Metodologie gevolg.

Die argeologie in geheel berus nie net op 'n eie metodologie en teoretiese uitgangspunt nie, maar steun ook op hulpwetenskappe.

Dit is in een van hierdie hulpwetenskappe naamlik Geologie waar in werkbare metode tot oplossing gevind is vir bogenoemde probleem. RXD (Refractive X-ray Diffraction) is die metode wat gevolg is vir die ontleding van kleimonsters onttrek uit die oewers van die Wolwespruit in die omgewing. Die monsters is blootgestel aan temperature tussen 700 °C en 900 °C en dan vergelyk met die potwerk wat gevind is by die skuiling.

6. Monster insameling.

Om die navorsingsprojek volledige wasdom te laat bereik was dit noodsaaklik om die nodige monsters wat die studie vergesel versigtig te selekteer.

Die seleksie van monsters het begin by die skuiling self waar die totale aantal potskerwe gevind uit laag twee van die aktiwiteitsarea (genoem KK2) ingesamel is vir analise.

Die tweede fase van monster insameling kan uiteengesit word as volg: Drie kleimonsters is onttrek uit die oewers van die Wolwespruit in die gebied naaste aan die skuling. Die monsters is geselekteer ten opsigte van kleur en word verdeel in swart, bruin en khaki. Gedeeltes van al drie tipes is gedroog en volgens kleur geberg.

Die drie hoof tipes ongedroogde klei is beskryf as:

A (Swart)

B (Bruin)

C (Khaki) (Fig. 3).

Die monsters is met mekaar vermeng om AB, AC en BC gemerkte monsters te lewer. Al ses bogenoemde monsters is geanalyseer.

Die rede vir die vermenging van die kleimonsters was hoofsaaklik vanweë die feit dat die argeologiese rekord toon dat vermenging van klei met temperstowwe 'n voorwaarde was vir die vervaardiging van hoë gehalte potwerk (Renfrew en Bahn, 1991:293). Dit sou dus moontlik wees dat van die kleimonsters reeds oor die nodige temperstowwe beskik het en vermeng kon word met ander klei.

Die monsters is geanalyseer deur die Departement Materiaal Tegnologie van die Technikon Pretoria. Elkeen van die monsters is gevorm tot silindriese monsters van ongeveer 5 cm in lengte waarna dit gebak is by 700°C, 800°C en 900°C onderskeidelik.

Die monsters is gebak in 'n elektriese kiln met 'n verhittings tempo van 80°C per uur gevvolg deur 'n week tydperk van 1 uur. Fig.4 toon die keramiek silinders na vuuring.

Die keramiek silinders is na die vuuringsproses gemerk A, B, C, AB, AC en BC onderskeidelik. Die gedroogde rou kleimateriaal (swart, bruin en khaki) sowel as die potskerwe verky uit laag 2 van KK2 is na die Raad van Gewetenskappe versend.

Dit is op hierdie monsters wat RXD analises uitgevoer is om te bepaal of 'n ooreenstemming of verskil gevind kon word ten opsigte van die mineralogiese samestelling van die potskerwe en die kleimonsters.

In praktiese terme is die kleimonsters dus mineralogies en chemies vergelyk met die potwerk wat gevind is by die Krygorskuiing.

7. Die RXD proses as metode van herkomsbepaling van potwerk.

Alvorens die RXD metode omskryf word sou dit van belang wees om te noem dat die analyse van die kleimonsters getoon het dat die sigbare verskil in kleur (swart, bruin en khaki) 'n fenomeen is wat meegebring is deur die voginhoud en afgebreekte plantmateriaal wat in die klei voorkom. Daar dan gevind dat daar geen verskil is in chemiese samestelling tussen die kleimonsters onttrek uit die Wolkwespruit area nie.

Dit is in ag genome van hierdie bogenoemde data dat analises slegs onderneem is ten opsigte van:

- VIII. Drie sigbare kleurskakerings van die gedroogte klei (Fig. 3);
- IX. Silindriese monster A wat by 700°C , 800°C en 900°C gevuur is en (Fig. 4);
- X. Vyf potskreve numeries uiteengesit vanaf 1 tot 5 (Fig.5).

7.1 Lig.

Lig is 'n elektromagnetiese vibrasie wat in die tegniek van oorgedraagde en gereflekterde ligmikroskopie gesien kan word as 'n oordrag van energie deur die vibrasie van deeltjies vanaf die bron tot by die waarnemer (Gibble en Hall. 1986:215).

Wit lig bestaan uit 'n aaneenlopende spektrum van strale wat in golflengte varieer vanaf 380 tot 770 nm deur die visuele spektrum.

7.2 Die opwekking van X-strale.

X-strale word voortgebring wanneer hoë spoed elektrone die atome van enige stof tref. 'n Moderne X-sstraal silinder bestaan uit 'n verhitte filament wat die bron van elektrone daarstel en 'n materiaalteiken omsluit deur 'n lugleë kamer, gefokusde hoogspanning beweeg elektrone teen hoë spoed vanaf die katode na die teiken. Hierdie proses veroorsaak die ontstaan van X-strale (Berry en Mason, 1983:202-203).

7.3 Refraksie.

Refraksie word gedefinieer as die defleksie van 'n straal of van 'n energiegolf, wanneer dit deur een medium na 'n ander beweeg van verskillende optiese digthede, word dit gedeflekter. Hierdie deflektering verander die straal se snelheid (Gary et al. 1974:597).

7.4 Diffraksie.

Diffraksie word beskryf as die proses waardeur die rigting van lig en ander vorme van bestralingsenergie (X-strale, elektrone en neutrone) verander word deur die buiging van bestraling om die rante van voorwerpe en die gevoulklike vorming van 'n steuringspatroon binne die geometriese skaduwee van die voorwerp. Asook, die verspreiding van ligstrale wanneer dit weerkaats word vanaf 'n gestreepte oppervlak met versteuringsbronre wat geskei word deur afstande wat vergelykbaar is met die golflengte van bestraling (Gary et al. 1974:196).

8. Die proses van X-sstraal diffraksie.

X-sstraal diffraksie.

Die effek van x-sstraal diffraksie deur mineraalstrukture kan gesien word as die basis van 'n metode om minerale sowel as ander kristallynestrukture te identifiseer.

Kwalitatiewe chemiese analises tref geen onderskeid tussen verskillende verbindings van dieselfde elemente nie, kwantitatiewe chemiese analises tref weer geen onderskeid tussen

polimorfie en refraktiewe indeksmetings en is nie toepasbaar op ondeurskynende minerale nie.

X-stral metodes kan gebruik word om alle kristallyne materiale te identifiseer. Slegs klein hoeveelhede van die materiaal word benodig vir X-stral identifikasie metodes (Berry en Mason, 1983:202).

Vir verdere verklaring van hierdie metode sal daar verwys word na fig.6 tesame met die onderstaande gedeelte.

In fig.6 is die lyne p, pl, en p2 verteenwoordigend van 'n "familie" atoombane met tussenspasie d. X-strale wat die buitenste baan pp tref word gereflekter teen die inkommende hoek θ , die waarde van θ is nie bekend nie. Om mekaar te versterk om sodoende 'n refleksie daar te stel wat as 'n betroubare lesing sou dien moet alle reflekte strale in "pas" wees met mekaar. Die baan van die golwe DEF wat gereflekter word by E is langer as die golwingsbaan ABC wat gereflekter word by B. As die twee pare golwe in "pas" moet wees moet die baanverskil van ABC en DEF 'n aantal volle golflengtes wees ($n\lambda$).

In fig.6 word BG en BH loodreg tot AB en BC aangedui sodat $AB=DG$ en $BC=HF$. Om te sorg dat die twee golwe in "pas" is moet GE en EH gelyk wees aan 'n integrale hoeveelheid golflengtes. BE is loodreg tot lyne p en pl en is gelyk aan die binne spasie (d) In ΔGBE , $d \sin \theta = GE$ en in ΔHBE , $d \sin \theta = EH$.

Dus wanneer 'n in "pas" refleksie daar gestel wil word is $GE+EH = 2d \sin \theta = n\lambda$. (Klein en Hurbut, 1993:283-286).

9. Die aard van die data

Soos vooraf genoem is die potwerk verkry vanaf die Krygkor skuiling en in praktyk vergelyk met rou en gebakte kleimonsters afkomstig uit die vloedvlakke van die Wolwespruit.

Hierdie monsters is geneem en klein hoeveelhede daarvan is fyn gemaak in 'n vysel. Hierma is die fyngemaakte stof op sirkelvormige plaatjies gemonteer en gemerk. Die sirkelvormige plaatjies pas binne die RXD apparaat en op atomiese vlak is dit die "familie" van atome wat na verwys word.

Die golfslengte van die meeste minerale is bekend en dit is volgens hierdie golfslengtes wat die teenwoordigheid van 'n mineraal bepaal word. Uit die analises van die monsters is 'n duidelike aantal minerale se teenwoordigheid bepaal nl. Fluoriet (CaF_2), Haliet (NaCl), Dolomiet ($\text{CaMg}(\text{CO}_3)_2$), Kwarts (SiO_2), Hematiet (Fe_2O_3), Veldspaat of Plagioklaat, meer spesifiek Albiet ($\text{Ca},\text{Na})\text{AlSi}_3\text{O}_8$ en Microklien (KAISi_3O_8) onder die klei minerale (Phyllosilicates) vind ons die volgende. Kaolien ($\text{Al}_2(\text{OH})_4\text{Si}_2\text{O}_5$), Pirofiliet $\text{Al}_2(\text{OH})_2\text{Si}_4\text{O}_{10}$ en Illiet $\text{KAl}_2(\text{OH})_2\text{AlSi}_3\text{O}_{10}$.

Dit is ook in hierdie volgorde wat die mineraal teenwoordigheid in die monsters uitgedruk is in Tabel 1. Die tellings soos waarnembaar in Tabel 1 is omreken in persentasies wat ook op hierdie diagram voorkom. Aan die linkersy van hierdie diagram word die rou klei (ongebak) volgens hul kleurskemas voorgestel, gevolg deur die gebakte klei volgens hul onderskeie temperature en daarna die potwerk waarvan 5 monsters geneem is. Die Fluoriet en Haliet kon gebruik gewees het as 'n vloeistof smeltmiddel (Flux) (Mondelinge mededeling).

Van al die bovenoemde minerale wat voorkom in die monsters is Fluoriet (CaF_2) en Pirofiliet ($\text{Al}_2(\text{OH})_2\text{Si}_4\text{O}_{10}$) deurslaggewend vir die bevindinge wat die hipotese van hierdie skripsie daar stel.

Vanweë hulle belangrikheid is dit belangrik dat daar eers 'n nadere ontleiding gegee sal word van hierdie minerale.

10. Pirofiliet (Pyrophyllite) $\text{Al}_2(\text{OH})_2\text{Si}_4\text{O}_{10}$

Eienskappe

Waar Pirofiliet die dominante mineraal is sal die gesteente sag, wasagtig, massief en tekstuurloos wees. Pirofiliet kom voor saam met kwarts en ander mineraale. Dit is 'n mineraaf van gevorderde (argillic) argiliëse verandering wat ontstaan as gevolg van die reaksie van lae pH vloeistowwe met gesteentes. Pirofiliet vorm deur metamorfisme van aluminium houdende gesteentes (Thomson J.F.H., 1996:82).

Voorkomste

Baberton, Nelspruitgebied, Mpumalanga, distrik Krugersdorp Gauteng, distrik Soutpansberg Mpumalanga, distrik Nqutu Kwa-Zulu Natal, Inanda en Kranskop Kwa-Zulu Natal, Dominium groep (Gestoptefontein 349 10 en Driekraal 280 10 (E 10-11) benoerde Ottosdal, Insuzi, groep Witwatersrand supergroep (sentralerand groep) en Wonderklip 6 tot 16 km Noord van Ottosdal (Coetze C.B., 1976:417).

11. Fluoriet (Fluospar) CaF_2

Eienskappe

Fluoriet vorm onder 'n variasie van geologiese kondisies en kom dus voor in talle mineralogiese omstandighede en gebiede. Dit is 'n belangrike mineraal in alkaliese epitermiese neerslae en kom voor in are (mineraal) en die matriks tot breksies. Fluoriet kon ook voor in mesotermiese are en pype (mineraal formasies) (Hawke M.M., Leach T et al, 1996:58).

Voorkomste

Fluorite kom voor in 'n aantal gedeeltes in Suid-Afrika an Namibië naamlik Westelike provinsie, Ottoshoop, Oog van Malmanie, Buffelshoek, Witkop, Stinkhoutboom in die Rooigraniet van die Bosveldkompleks byvoorbeeld Cyferfontein, Toekspruit, Ruiterspoort (Waterberg distrik) sowel as die Rustenburg, Potgietersrus en Pretoria distrik. In Pretoria kom dit voor by Roodeplaat 314, Walmansthal 116 en Leeuwfontein. Ander voorkomste is

in die Pilansberg en die Noord Wes Kaap sowel as sekere distrikte in Namibië (Kent L.E. et al, 1943:11-51).

12. Betekenis van die voorkomste van die omskryfde minerale.

Die potwerk gevind by die Krygkor skuiling toon abnormale hoë konsentrasies Pirofilliet (26,58%) en 'n definitiewe aanwesigheid van Fluorite (Fluorspar) (10,55%) en (29,18%) wat nie die geval is by die kleimonsters onttrek in die Wolwespruit vloedvlakke nie behalwe klein persentasies Pirofilliet wat wel voorkomin die Pretoria skalie (Maree D.B.G., Mondelingse mededinging).

Die pirofilliet gevind in die potwerk is dus nie vergelykend in konsentrasie met die voorkoms daarvan in die omgewing van die Krygkor skuiling nie (Tabel 1).

14. Gevolgtrekking.

Na aanleiding van die data wat verkry is, is dit van belang om in ag te neem dat die naaste bronre van Fluospar voorkomste in afgelye gebiede ten opsigte van die Krygkorskuieling voorkom en in die geval beslis nie saam met Profilliet nie.

Die argeologiese data toon dat die bewoners van die skuiling by Krygkor (spesifiek die bewoners wat die kleipotoorblyfsels nagelaat het) 'n klein groepie mense was wat nie vervaan hul skuiling sou wou beweeg nie (moontlik uit vrees vir omliggende gemeenskappe).

Die bewoners was beslis nie vooruitstrewend nie (beeste is deur hierdie gemeenskappe bejien as 'n vorm van rykdom en die hoofman se rykdom is getel in sy aantal beeste en vroue, geen oorblyfsels van beeste oorskot kom in die argeologiese data voor nie). Die bewoners van die Krygkor skuiling se dien volgens die argeologiese data het hoofsaaklik bestaan uit varswatermossels, mikrofauna soos dassies, skilpaaie, bosduwe, tarentale en likewane.

‘n Enkele groot dier, ‘n Sebra, se reste is gevind alhoewel dit ook as ‘n jong dier identifiseerbaar is. Die voorkoms van klein diere by die skuiling dui moontlik op omgewingsdruk wat die mense genoodsaak het om naby hul skuiling te bly (Wadley, 1987:82).

Ons het dus hier te make met ‘n klein groepering mense wat hierdie skuiling benut het tydens die Difaquane 1821-1840. Hulle het oor ‘n geringe infrastruktuur beskik en as gevolg van omgewingsdruk hulle gewend het tot hul onmiddellike habitat vir oorlewing. Die fiet dat die argeologiese data hierdie stelling staaf maak dit moontlik om na bewoners van die Krykkorskuiling gedurende hierdie tydperk te verwys as vlugtelinge van die Difaquane en dat hulle waarskynlik die potwerk waaroor hulle beskik het met hul mee gebring het.

14. Hipotese oor die herkoms van die potwerk.

In samewerking met die departement Mineraaltegnologie van die Technikon Pretoria was daar ‘n poging aangewend om te bepaal wat die oorsprong van die Krykkor potwerk sou wees.

Die geologiese kaart van Suid-Afrika toon dat daar net een moontlike plek bestaan waar Pirofiliet, Dolomiet en Fluospar saam voorkom, (‘n kenmerk wat die potwerk wel toon) en dit bleek die omgewing Noord Oos van Mmabato te wees, naby Ottoshoop.

In hierdie gebied vind ons die dolomiet wat teenaan die Domidium Rif grens (die Dormidiumrif is ‘n bron van Pirofiliet en Fluoriet word binne die Dolomiet gevind. Kyk fig.7.

‘n Ander moontlike geologiese oorsprong van die potwerk is die nabyleë Ottosdal omgewing waar Pirofiliet ook voorkom.

Die volgende samestellings se smeltpunte is: Fluoriet 1360°C, Haliet Dolomiet (verloor slegs (CO_2) by $7900^{\circ}C$, Plagioklaat $1100^{\circ}C$, Microklien verander na Sanidien $KAlSi_3O_8$ by

1050°C, Kaolien 525°C (by 400°C verloor die samestelling kristal-(OH)). Pirofiliet 575°C (by 420°C verloor die samestelling kristal-(OH)). Illiet 650°C (by 550°C verloor die samestelling kristal-(OH)). Quartz 1670°C en Hematiet (reduuseer na FeO by 'n redudeerende atmosfeer Tabel 1).

Uit bogenoemde kan die volgende afleiding gemaak word. Fluoriet kom nie voor in die omgewing van die skuijing nie maar wel in die potwerk.

Dolomiet kom voor in die potwerk maar die rou klei en gebakte klei toon geen aanwesigheid daarvan nie (sien smeltpunt). Die persentasies van Plagioklaat verskil by die rou klei en die potwerk, 'n fenomeen wat ook sigbaar is by die Microklien. Pirofeliet persentasies van die potwerk verskil drasties van die rou en gebakte kleimonsters.

15. Verdere aanbevelings.

Hierdie navorsingstudie is nog in sy geheel bloot net 'n wegaanwyssing tot verdere navorsing te wye aan nuwe hipoteses wat hieruit mag voortvloei en vraagstukke wat ontstaan. So sal dit na gelang die aard van die navorsing nodig wees om potwerk monsters uit die groter Mabato en Ottosdal omgewing te onttrek en aan dieselfde analises te onderwerp.

Tweedens sal nog potwerk van die Krygkor skuijing ontleed moet word vir verdere ondersteuning van die hoofhypotese in hierdie skripsié. Ten derde sal die bestaande Moloko potwerk by die skuiling weer onder loep geneem moet word om die aanwesigheid daarvan te peil en te verklaar. As laaste oogmerk, sal in die omgewing van die Krygkor skuijing verdere ondersoek moet ondergaan om moontlike ander woonareas te identifiseer.

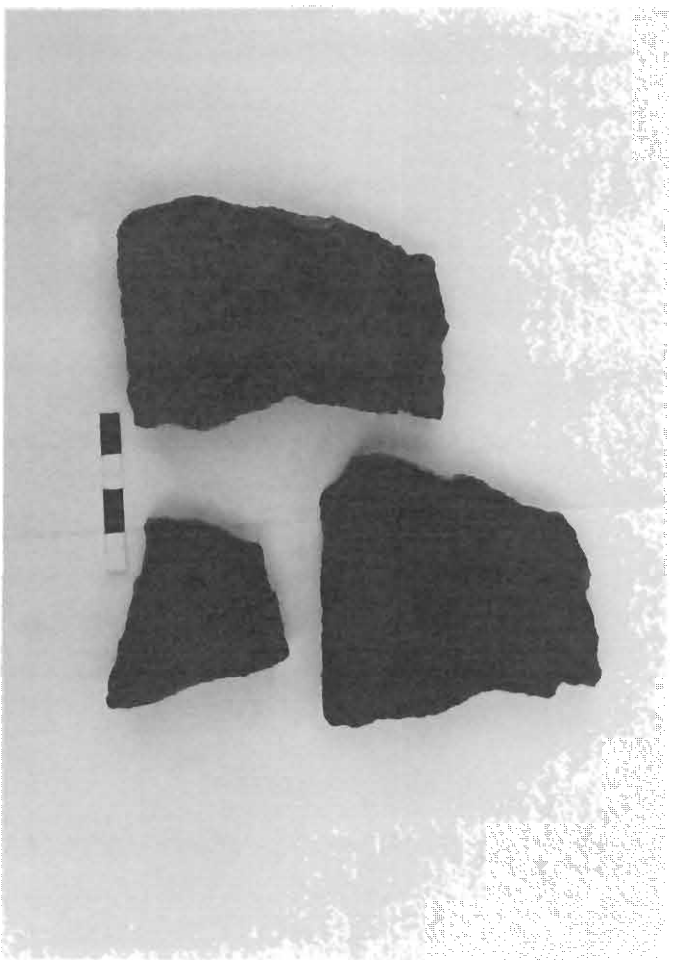
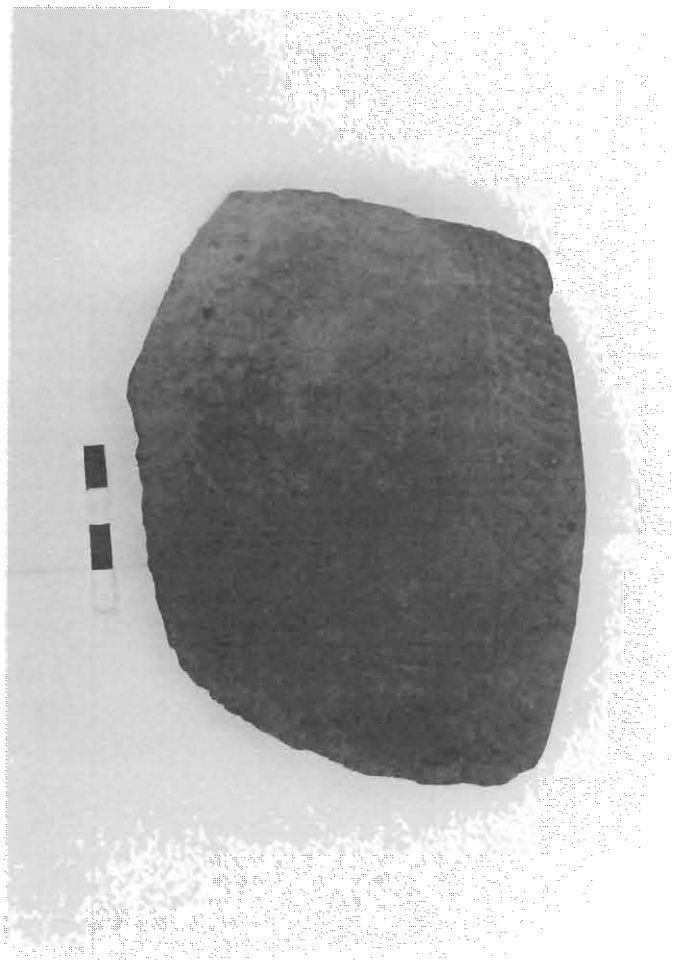
16. Slot

Vanuit die bogenoemde bespreking is dit duidelik dat nog verdere navorsing aangaande die voorgestelde hipotese nodig is maar dat die belang van hulpwetenskappe in die argeologie nie ontken kan word nie. Inderdaad kan argeologie eerder as 'n oorbruggingswetenskap

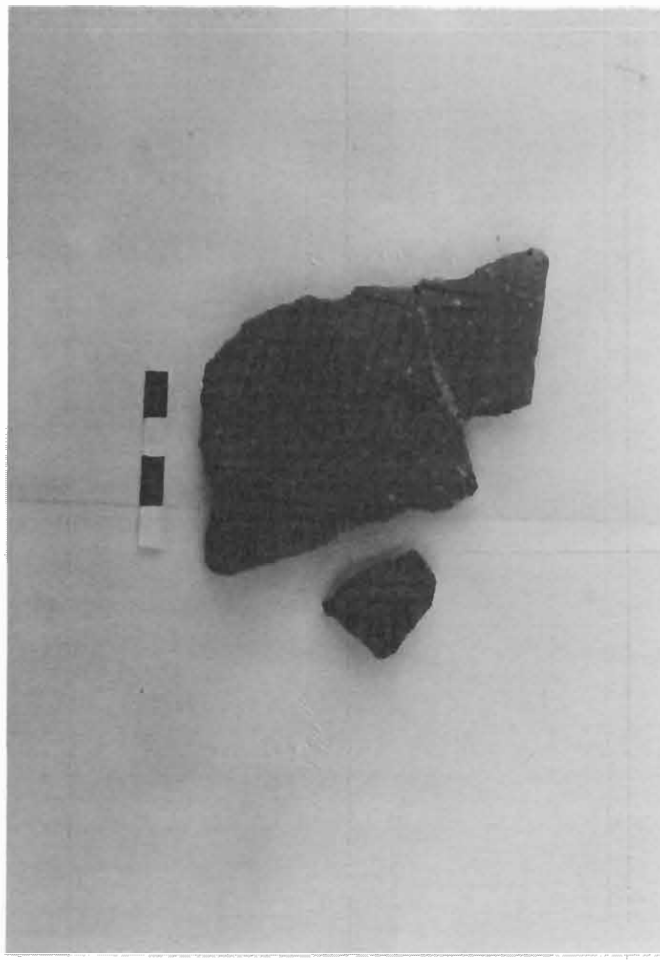
gesien word syndé sy praktiese tegnieke hoofsaaklik geleë is in die natuurwetenskappe terwyl sy doelwitte; byvoorbeeld die rekonstruksie van kultuur geskiedenis, rekonstruksie van voorhistoriese leefwyse en rekonstruksie van kultuurprosesse gesetel is in die Geesteswetenskappe.

14. Bibliografie

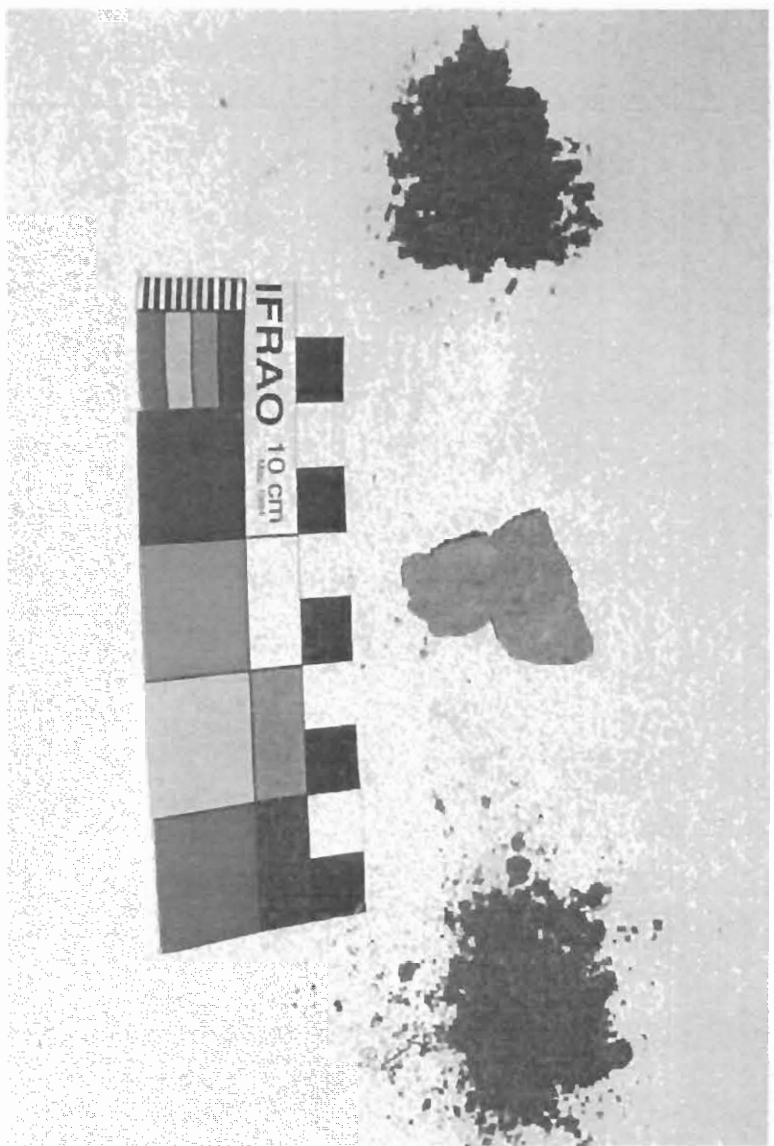
1. BERRY,L.G. & MASON, B. 1983. Mineralogy. San Francisco: W.H. Freeman and Company. 561p.
2. COETZEE, C.B. 1976. Delfstowwe van die Republiek van Suid Afrika. Staatsdrukker: 462p.
3. GARY, M., McAFFEE, R., WOLF, C.L. 1974. Glossary of Geology. Washington D.C.: American Geological Institute. 805p.
4. GRIBBLE, C.D. & HALL,A.J. 1986. Optical Mineralogy, Principles & Practice. Department of Geology & Applied Geology. University of Glasgow. UCL Press. 303p.
5. HAWKE, M.M & LEACH, T. 1996. Atlas of Altaration, a field Petrographic Guide to Hydrothermal Alteration Minerals. Geological Ass of Canada, Vancouver: Alpine press LTD. 119p.
6. KENT, L.E., RUSSEL, H.D., VAN ROOYEN, D.P. 1942. Fluospar in the Union of South Africa ans South West Africa. PTA. Staatsdrukker. 69p.
7. KLEIN, C. & HURBURT, C.S. 1993. Manual of Mineralogy. New York.:Jhon Wiley and Sons Inc. 681p.
8. MAREE, D.B.G. 1999. Mondelinge mededeling. Pretoria.
9. PRINSLOO, H.P. 1999. Mondelinge mededeling. Pretoria.
10. RENFREW, C. & BAHN, P. 1991. Archaeology Theories Methods and Practise. USA: Thames and Hudson Ltd. 543p.
11. THOMSON, J. 1996. Atlas of Altaration, a field Petrographic Guide to Hydrothermal Alteration Minerals, Geological Ass of Canada. Vancouver: Alpine press LTD. 119p.
12. Wadley, L. 1987. Later Stone Age Hunters + Gatherers of Southern Tvl. BAR International Series 380. Cambridge.



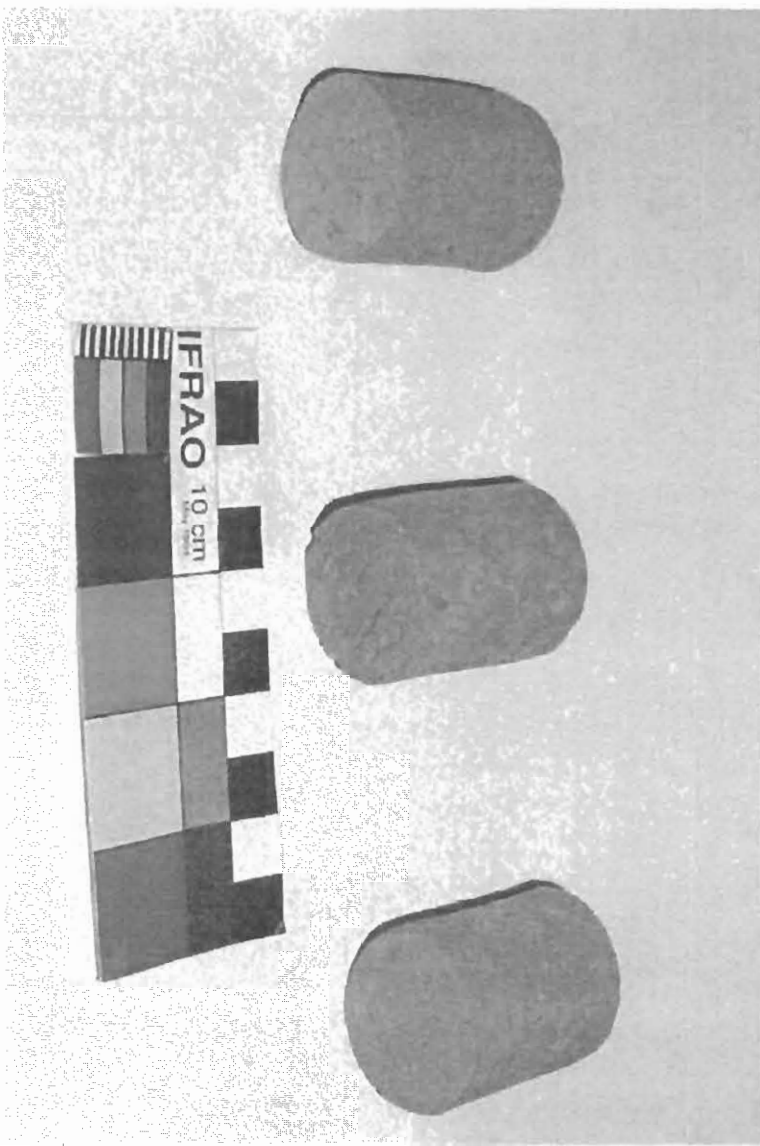
Figuur 1.
Potwerk met gaatjies vir hegting.



Figuur 2. Moloko potwerk wat by die skuiling voorkom.

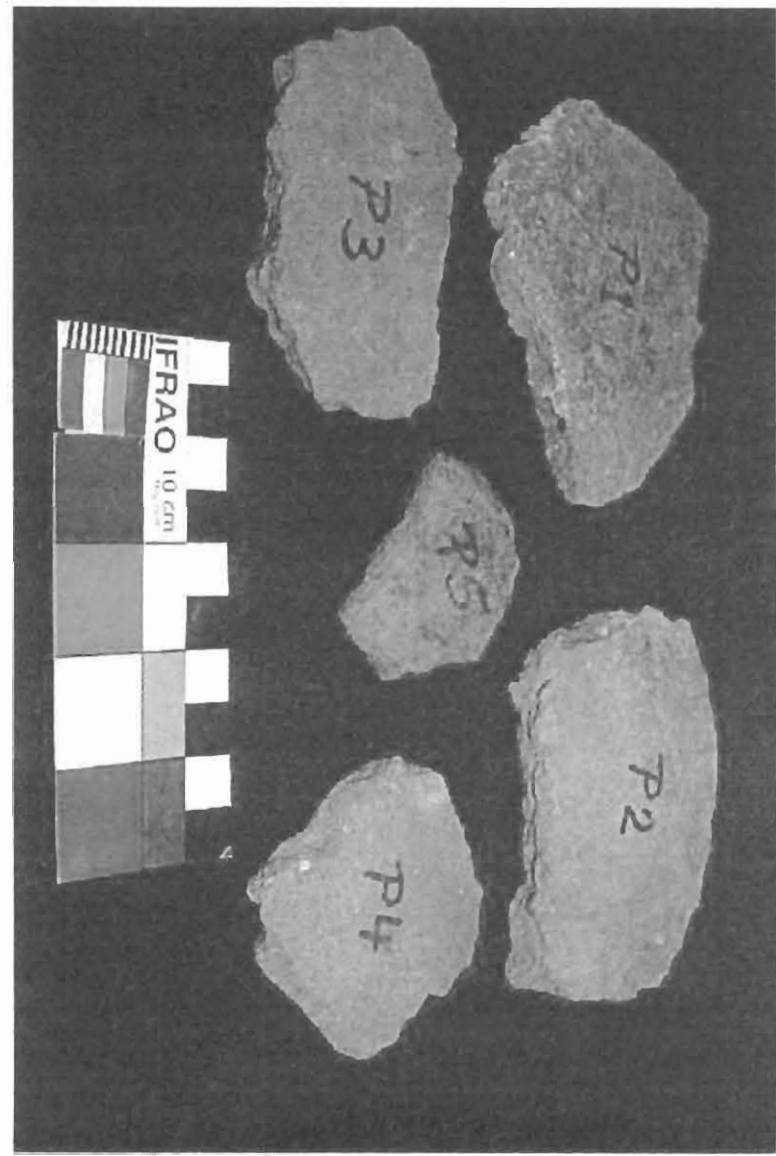


Figuur 3. Die figuur toon die drie tipes gedroogde klei bruin, khaki en swart.

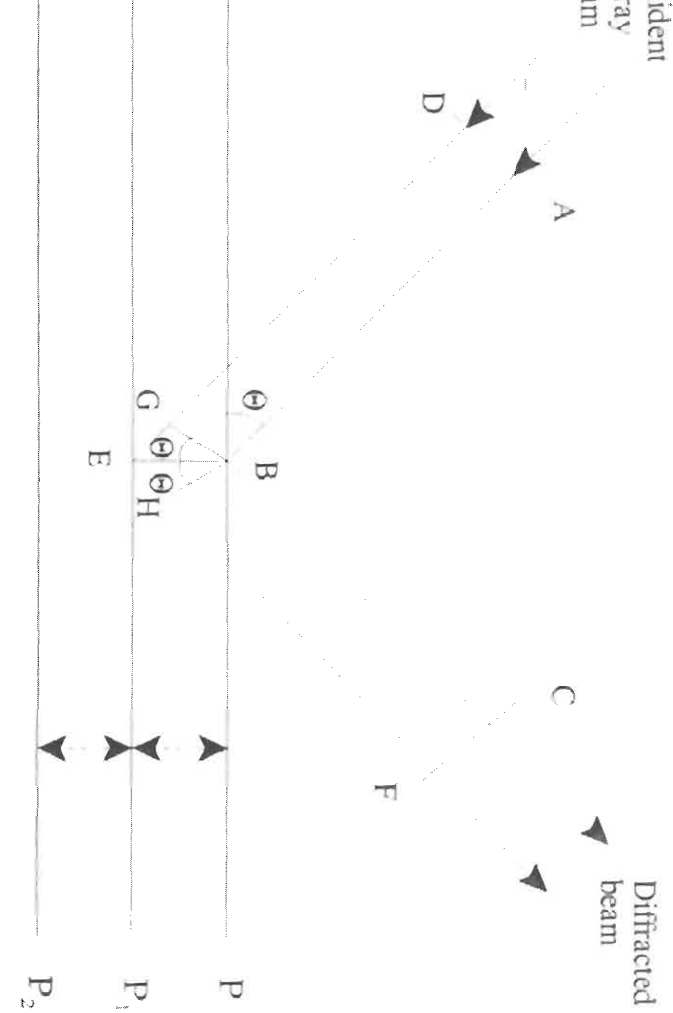


Figuur 4.

Die figuur toon die keramiek slinders na vuring van links 700°C, 800°C en 900°C. Geen duidelike kleurverskil is sigbaar.



Figuur 5. Hierdie figuur toon die vyf geselekteerde potskerwe soos numeries uiteengesit. 1 tot 5.



Figuur 6. Voorstelling van X-straal diffraaksie.

Figuur 7. Geologiese kaart wat die voorkoms van Pirofylief, Dolomiet en Fluoriet aandui.

Tabel 1

	Minerals												Clay Minerals Phyllosilicates								
	Fluorite CaF_2		Halite NaCl		Dolomite $\text{CaMg}(\text{CO}_3)_2$		Oxide: Quartz SiO_2		Hematite Fe_2O_3		Feldspar: Plagioclase Albile (Ca,Na) AlSi_3O_8		Microcline KAlSi_3O_8		Kaolinite $\text{Al}_2(\text{OH})_4\text{Si}_2\text{O}_5$		Pyrophyllite $\text{Al}_2(\text{OH})_2\text{Si}_4\text{O}_10$				
	%		%		%			%		%		%		%		%	Tot				
<u>Clay</u> <u>(unbired)</u> Black						280	68.46			9	2.20	6	1.47	45	11.00	17	4.16	52	12.71	409	
Brown						300	77.72			6	1.55	5	1.3	35	9.07	10	2.59	30	7.77	386	
Khaki						315	75			6	1.4	5	1.2	42	10.00	12	2.9	40	9.52	420	
<u>Sample</u> <u>(Clay)</u> A 700°C						310	84.24										13	3.53	45	12.23	368
A 800°C						450	88.58										14	2.8	44	8.66	508
A 900°C						385	83.51										18	3.9	58	12.6	461
<u>Pottery</u> Sample 1	25	10.55	12	5.06		118	49.79										63	26.6	19	8.00	237
Sample 2	35	25.18			12	8.63	80	57.56	12	8.63										139	
Sample 3						280	78.21			26	7.3	14	3.9						38	10.6	358
Sample 4						340	77.63			42	9.6	18	4.1						38	8.68	438
Sample 5			10	3.5		240	85.11			24	8.5	8	2.8							282	

